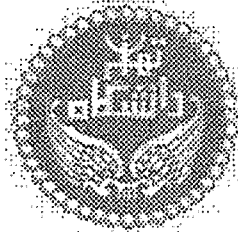


بِهِ نَامِ خَداونَدِ بَخْشَنَدِهِ مَرْجَان

۸۱۸.

کرسه
تم اینم داشتند



دانشگاه تهران

دانشکده منابع طبیعی

بررسی خواص مهندسی و ویسکوالاستیک مواد مرکب حاصل از پلیمرهای
گرمانزم و الیاف طبیعی با استفاده از تحلیل دینامیکی - مکانیکی (DMA)

نگارش: مهدی تجویدی

استادان راهنمای: دکتر علی‌اکبر عنایتی دکتر قنبر ابراهیمی

استادان مشاور: دکتر روبرت اچ فالک دکتر مهدی پیزاد

رساله برای دریافت درجه دکتری ۱۳۸۲ / ۷ / ۲۰

در

مهندسی منابع طبیعی
علوم و صنایع چوب و کاغذ

تیرماه ۱۳۸۲



«صورتجلسه»

جلسه دفاع از رساله دکترای آقای مهدی تجویدی
دانشجوی رشته علوم و صنایع چوب و کاغذ به شماره دانشجوئی ۷۲۰۴۷۷۰۳۵

تحت عنوان:

«بررسی خواص مهندسی و ویسکوالاستیک مواد مرکب حاصل از پلیمرهای گرمانرم و
الیاف طبیعی با استفاده از تکنیک DMA (Dynamic Mechanical Analysis)

در ساعت ۱۰ صبح روز دوشنبه مورخ ۱۶/۴/۸۲ در سالن اجتماعات شهید مطهری
برگزار گردید و با نمره ۱۹,۷۸ درجه عالی مورد قبول واقع شد.

مدیر گروه: آقای دکتر کاظم دوست حسینی

استادان راهنما:

آقای دکتر قنبر ابراهیمی

آقای دکتر علی اکبر عنایتی

استادان مشاور:

۱- آقای دکتر مهدی بهزاد

۲- آقای دکتر Robert H. Falk

استادان داور: آقای دکتر مهدی فائزی پور

آقای دکتر احمد جهان لتبیاری

آقای دکتر حسین محمدی شجاع

آقای دکتر حسن رحیمی

تقدیم به همسر عزیزم، پری ناز

در این مطالعه، خواص مهندسی و ویسکوالاستیک مواد مرکب حاصل از پلیمرهای گرمانترم و الیاف طبیعی با استفاده از تحلیل دینامیکی-مکانیکی (DMA) مورد مطالعه قرار گرفته‌اند. از پلیپروپیلن و پلی‌اتیلن سنگین به عنوان ماده زمینه و الیاف کنف، آرد چوب، سبوس برنج و الیاف روزنامه به عنوان تقویت‌کننده در درصدهای وزنی ۲۵ و ۵۰٪ استفاده گردید. از مواد مرکب حاصل با استفاده از قالبگیری تزریقی نمونه‌های استاندارد ASTM ساخته شده و آزمون‌های استاتیکی شامل آزمون کشش، خمش و ضربه بر روی نمونه‌ها انجام شدند. آزمون‌های دینامیکی شامل اسکن دما و اسکن فرکانس بر روی نمونه‌های DMA انجام و پارامترهای ویسکوالاستیک حاصل بر حسب دما یا فرکانس ثبت گردیدند. آزمون‌های خرش-بازگشت کوتاه مدت نیز در دماهای مختلف بر روی نمونه‌ها انجام شده و از یک معادله تابع توانی برای مدل‌سازی تایج و بررسی اثر دما استفاده گردید. به منظور آزمون کارایی روش رویهم‌گذاری زمان-دما در مورد این مواد مرکب، امکان انجام جایگایی افقی و عمودی منحنی‌های همدماهی حاصل از اسکن فرکانس و به دست آوردن منحنی مرجع در زمان‌های طولانی‌تر (فرکانس‌های کوترا) بررسی گردید و تایج با منحنی مرجع حاصل از آزمون‌های خرش کوتاه‌مدت و مدل تابع توانی مقایسه گردیدند. آزمون‌های استاتیکی نشان دادند که مدول الاستیسیته و مقاومت‌های کششی و خمشی با افزایش درصد الیاف افزایش یافتند. تایج آزمون‌های دینامیکی حاکی از افزایش مدول‌های ذخیره و اتلاف و کاهش فاکتور اتلاف مکانیکی در حضور الیاف طبیعی بودند و تاثیر الیاف بر انتقال آلفا شدیدتر از انتقال بتا بود. استفاده از معادله تابع توانی برای مدل‌سازی رفتار خرشی کارایی بهتری نسبت به روش رویهم‌گذاری زمان-دما نشان داد.

واژه‌های کلیدی: مواد مرکب، گرمانترم‌ها، الیاف طبیعی، خواص ویسکوالاستیک، تحلیل دینامیکی-مکانیکی، خرش-بازگشت، معادله تابع توانی، رویهم‌گذاری زمان-دما

سپاسگزاری

برخود لازم می‌دانم از کلیه دوستان، سروران و عزیزانی که در کلیه مراحل انجام این رساله یاریم،
کرددند صمیمانه تشکر کنم:

- ✓ آقایان دکتر قنبر ابراهیمی و دکتر علی‌اکبر عنایتی استادان راهنمای رساله
- ✓ آقای دکتر Robert H. Falk استاد مشاور رساله که لطف و محبت پدرانه‌اش را
همواره به یاد خواهم داشت و بی‌شک انجام این مهم بدون یاریش میسر نبود
- ✓ آقای دکتر مهدی بهزاد استاد مشاور رساله
- ✓ آقایان دکتر مهدی فائزی‌پور، دکتر احمد جهان‌لبیاری، دکتر حسن رحیمی و دکتر
حسین محمدی شجاع داوران رساله
- ✓ Colin Felton مدیر فنی شرکت تیل گلوبال ریسورسز، بریو، ویسکانسین، ایالات
متحده
- ✓ آقای دکتر John C. Hermanson که در طول انجام رساله از نظراتش بهره‌ها
بردم
- ✓ آقای دکتر Craig Clemons که بدون کوچکترین چشمداشتی ساعت‌ها وقت
خود را در اختیارم گذاشت
- ✓ آقای دکتر Anand Sanadi
- ✓ Chris Hunt که هرچه از DMA می‌دانم از اوست
- ✓ کلیه اعضاي محترم گروه علوم و صنایع چوب و کاغذ دانشکده منابع طبیعی دانشگاه
تهران
- ✓ کلیه پرسنل و محققین آزمایشگاه محصولات جنگلی ایالات متحده
- ✓ اداره بورس و امور دانشجویان خارج وزارت علوم، تحقیقات و فناوری
- ✓ خانواده خود و خانواده همسرم
- ✓ و همسر عزیزم سرکار خانم مهندس پریناز رحیم‌زاده که جز توانایی جبران
محبتهاش آرزویی ندارم

فهرست مطالب

۱۷	۱- مقدمه
۱۸	۱-۱- پیشینه تئوری
۱۸	۱-۱-۱- گرمانزم ها
۱۹	۱-۱-۲- انتقال ها در پلیمرها
۲۰	۱-۱-۳- دمای انتقال شیشه ای (T_g یا T_a)
۲۱	۱-۱-۴- شاخص جریان مناب (MFI)
۲۱	۱-۱-۵- خواص مکانیکی پلاستیک ها
۲۱	۱-۱-۶- ویسکوالاستیزیته
۲۲	۱-۱-۷- خرش - بازگشت و افت تنش
۲۳	۱-۱-۸- آزمایش خرش - بازگشت
۲۴	۱-۱-۹- مدل های توصیف کننده رفتار ویسکوالاستیک خطی
۲۴	۱-۱-۹-۱- مدل ماکسوئل
۲۵	۱-۱-۹-۲- مدل کلوون یا وآت
۲۶	۱-۱-۹-۳- مدل چهار عنصری
۲۷	۱-۱-۱۰- اصول رویهم گذاری
۲۸	۱-۱-۱۱-۱- اصل رویهم گذاری بولتزمن
۲۸	۱-۱-۱۱-۲- اصل رویهم گذاری زمان - دما
۳۲	۱-۱-۱۱-۳- تحلیل دینامیکی - مکانیکی (DMA)
۳۳	۱-۱-۱۱-۴- اعمال تنش دینامیکی به نمونه
۳۵	۱-۱-۱۱-۵- محاسبه خواص دینامیکی مختلف
۳۶	۱-۱-۱۲-۱- مواد مرکب
۳۷	۱-۱-۱۲-۲- خواص
۳۸	۱-۱-۱۲-۳- طبقه بندی
۳۹	۱-۱-۱۲-۴- مواد مرکب یاف کوتاه
۴۰	۱-۱-۱۳- روش های فراورش پلاستیک ها
۴۱	۱-۲- مرور منابع
۴۱	۱-۲-۱- تحلیل دینامیکی - مکانیکی
۴۱	۱-۲-۲- اثر مقدار یاف
۴۲	۱-۲-۳- اثر توجیه یاف
۴۲	۱-۲-۴- اثر طول یاف
۴۳	۱-۲-۵- اثر سازگار کننده
۴۳	۱-۲-۶- انتقال ها در پلیمر

۴۸	۱-۲-۲-۱- تأثیر خواص ماده و دما بر خرمشی
۴۹	۲-۲-۲-۱- مدل سازی خرمشی
۵۰	۱-۳-۲-۱- رویهم گذاری دما - زمان
۵۶	۲- مواد و روش‌ها
۵۶	۱-۲- مواد
۵۶	۲-۲- روشها
۵۶	۱-۲-۱- ساخت مواد مركب
۵۷	۲-۲-۲- فرایند اختلاط
۵۷	۲-۲-۳- تهیه نمونه‌ها برای آزمون‌های استاتیکی
۵۸	۲-۲-۴- مشروط سازی
۵۸	۲-۲-۵- آزمون کشش
۶۰	۲-۲-۶- خمین سه نقطه‌ای
۶۰	۲-۲-۷- آزمون ضربه
۶۲	۲-۲-۸- آماده سازی نمونه‌های DMA
۶۲	۲-۲-۹- تحلیل گر DMA
۶۳	۲-۲-۱۰- اسکن دما
۶۴	۲-۲-۱۱- اسکن فرکانس و رویهم گذاری زمان - دما
۶۴	۲-۲-۱۲- آزمایش‌های خرمشی - بازگشت
۶۶	۲-۲-۱۳- تحلیل آماری
۶۸	۳- نتایج و بحث
۶۸	۱-۳- آزمون‌های کششی
۶۹	۱-۱-۱- اثر مقدار و نوع الیاف
۷۰	۱-۲-۱- اثر سازگارکننده
۷۱	۲-۲-۳- آزمون‌های خمینی
۷۲	۱-۲-۳- اثر مقدار و نوع الیاف
۷۳	۲-۲-۳- اثر سازگارکننده
۷۴	۳-۳- آزمون ضربه
۷۵	۱-۳-۱- اثر مقدار و نوع الیاف
۷۶	۲-۲-۳- اثر سازگارکننده
۷۷	۳-۴- اسکن دما
۷۸	۱-۳-۱- اثر نوع و مقدار الیاف
۷۹	۲-۲-۳- اثر سازگارکننده

۱۷۱.....	۳-۴-۳- شاخص ماندگاری مدول
۱۵۱.....	۳-۵-۳- اسکن فرکانس
۱۰۱.....	۳-۵-۱- اثر مقدار و نوع الایاف
۱۶۴.....	۳-۵-۲- اثر سازگارکننده
۱۶۸.....	۳-۶- آزمون های خزشی
۱۶۸.....	۳-۶-۱- رفتار خزش بازگشت
۱۷۲.....	۳-۶-۲- مدل سازی خزش
۱۸۵.....	۳-۷-۳- رویهم گذاری زمان دما
۱۹۴.....	۴- نتیجه گیری
۱۹۶.....	۴-۱- آزمون های کششی
۱۹۵.....	۴-۲- آزمونهای خمشی
۱۹۵.....	۴-۳- آزمون ضربه
۱۹۶.....	۴-۴- اسکن دما
۱۹۷.....	۴-۵- اسکن فرکانس
۱۹۸.....	۴-۶- رفتار خزش - بازگشت
۱۹۸.....	۴-۷- مدل سازی خزش
۱۹۸.....	۴-۸- رویهم گذاری زمان دما
۲۰۰.....	منابع مورد استفاده

فهرست جداول

..... ۵۷	جدول ۱ اجزای تشکیل دهنده ترکیبات مختلف (wt %)
..... ۵۹	جدول ۲ شرایط تزریق
..... ۶۳	جدول ۳ خصوصیات عمدۀ تحلیلگر DMA
..... ۶۸	جدول ۴ مقادیر متوسط ازدیاد طول تحت بار حداکثر برای مواد مرکب PP
..... ۷۰	جدول ۵ مقادیر متوسط انرژی تحت بار حداکثر برای مواد مرکب PP
..... ۷۲	جدول ۶ مقادیر متوسط مدول الاستیسیتے برای مواد مرکب PP
..... ۷۳	جدول ۷ مقادیر متوسط مقاومت کششی تحت بار حداکثر برای مواد مرکب PP
..... ۷۴	جدول ۸ مقادیر متوسط ازدیاد طول تحت بار حداکثر برای مواد مرکب HDPE
..... ۷۶	جدول ۹ مقادیر متوسط انرژی تحت بار حداکثر برای مواد مرکب HDPE
..... ۷۷	جدول ۱۰ مقادیر متوسط مدول الاستیسیتے برای مواد مرکب HDPE
..... ۷۸	جدول ۱۱ مقادیر متوسط مقاومت کششی تحت بار حداکثر برای مواد مرکب HDPE
..... ۸۰	جدول ۱۲ مقادیر متوسط انرژی تحت بار حداکثر برای مواد مرکب PP
..... ۸۷	جدول ۱۳ مقادیر متوسط مدول الاستیسیتے خمشی برای مواد مرکب PP
..... ۸۸	جدول ۱۴ مقادیر متوسط مقاومت خمشی تحت بار حداکثر برای مواد مرکب PP
..... ۸۹	جدول ۱۵ مقادیر متوسط انرژی تحت بار حداکثر در خشن برای مواد مرکب HDPE
..... ۹۱	جدول ۱۶ مقادیر متوسط مقاومت خمشی برای مواد مرکب HDPE
..... ۹۲	جدول ۱۷ مقادیر متوسط مقاومت خمشی تحت بار حداکثر در برابر مواد مرکب HDPE
..... ۹۷	جدول ۱۸ مقادیر متوسط مقاومت به ضربه ایزود فاقدار برای مواد مرکب PP
..... ۹۹	جدول ۱۹ مقادیر متوسط مقاومت به ضربه ایزود بدون فاق برای مواد مرکب PP
..... ۱۰۰	جدول ۲۰ مقادیر متوسط مقاومت به ضربه ایزود فاقدار برای مواد مرکب HDPE
..... ۱۰۱	جدول ۲۱ مقادیر متوسط مقاومت به ضربه ایزود بدون فاق برای مواد مرکب HDPE
..... ۱۷۴	جدول ۲۲ پارامترهای مدل تابع توانی برای مواد مرکب PP
..... ۱۷۵	جدول ۲۳ پارامترهای مدل تابع توانی برای مواد مرکب HDPE

فهرست شکل‌ها

..... ۲۴	شکل ۱ مدل ماسکول
..... ۲۵	شکل ۲ مدل کلوین یا آلت
..... ۲۷	شکل ۳ مدل چهار عنصری
..... ۲۸	شکل ۴ طبقه بندی مواد مرکب
..... ۲۹	شکل ۵ دستگاه تزریق
..... ۳۰	شکل ۶ نمونه‌های ASTM قالبگیری شده
..... ۳۱	شکل ۷ ماشین آزمایش کشش اینسترون با سیستم جمع آوری اطلاعات
..... ۳۲	شکل ۸ کرنش سنج نصب شده بر روی نمونه کششی
..... ۳۳	شکل ۹ ماشین آزمایش خمش اینسترون
..... ۳۴	شکل ۱۰ ماشین آزمایش ضربه
..... ۳۵	شکل ۱۱ ماشین فرز عمودی بریج پورت
..... ۳۶	شکل ۱۲ نمونه‌های DMA
..... ۳۷	شکل ۱۳ تحلیلگر DMA
..... ۳۸	شکل ۱۴ تیر دو سر گیردار
..... ۳۹	شکل ۱۵ اثر الیاف مختلف بر ازدیاد طول تحت بار حداکثر مواد مرکب PP
..... ۴۰	شکل ۱۶ منحنی نمونه تنش - کرنش کششی برای PP خالص و ماده مرکب PP-WF-۲۵
..... ۴۱	شکل ۱۷ اثر الیاف مختلف بر انرژی تحت بار حداکثر مواد مرکب PP
..... ۴۲	شکل ۱۸ اثر الیاف مختلف بر مدول الاستیسیته مواد مرکب PP
..... ۴۳	شکل ۱۹ اثر الیاف مختلف بر مقاومت کششی تحت بار حداکثر مواد مرکب PP
..... ۴۴	شکل ۲۰ اثر الیاف مختلف بر ازدیاد طول تحت بار حداکثر مواد مرکب HDPE
..... ۴۵	شکل ۲۱ منحنی نمونه تنش - کرنش کششی برای HDPE خالص و ماده مرکب PE-WF-۲۵
..... ۴۶	شکل ۲۲ اثر الیاف مختلف بر انرژی تحت بار حداکثر مواد مرکب HDPE
..... ۴۷	شکل ۲۳ اثر الیاف مختلف بر مدول الاستیسیته مواد مرکب HDPE
..... ۴۸	شکل ۲۴ اثر الیاف مختلف بر مقاومت کششی تحت بار حداکثر مواد مرکب HDPE
..... ۴۹	شکل ۲۵ اثر سازگارکننده بر ازدیاد طول تحت بار حداکثر مواد مرکب / PP آرد چوب
..... ۵۰	شکل ۲۶ اثر سازگارکننده بر انرژی تحت بار حداکثر مواد مرکب / PP آرد چوب
..... ۵۱	شکل ۲۷ اثر سازگارکننده بر مدول الاستیسیته مواد مرکب / PP آرد چوب
..... ۵۲	شکل ۲۸ اثر سازگارکننده بر مقاومت کششی تحت بار حداکثر مواد مرکب / PP آرد چوب
..... ۵۳	شکل ۲۹ اثر سازگارکننده بر ازدیاد طول تحت بار حداکثر مواد مرکب / HDPE آرد چوب
..... ۵۴	شکل ۳۰ اثر سازگارکننده بر انرژی تحت بار حداکثر مواد مرکب / HDPE آرد چوب
..... ۵۵	شکل ۳۱ اثر سازگارکننده بر مدول الاستیسیته مواد مرکب / HDPE آرد چوب
..... ۵۶	شکل ۳۲ اثر سازگارکننده بر مقاومت کششی تحت بار حداکثر مواد مرکب / HDPE آرد چوب
..... ۵۷	شکل ۳۳ اثر الیاف مختلف بر انرژی تحت بار حداکثر مواد مرکب PP در خمش
..... ۵۸	شکل ۳۴ منحنی نمونه تنش - کرنش خمشی برای PP خالص و ماده مرکب PP-WF-۲۵
..... ۵۹	شکل ۳۵ اثر الیاف مختلف بر مدول الاستیسیته خمشی مواد مرکب PP
..... ۶۰	شکل ۳۶ اثر الیاف مختلف بر مقاومت خمشی تحت بار حداکثر مواد مرکب PP
..... ۶۱	شکل ۳۷ اثر الیاف مختلف بر انرژی تحت بار حداکثر مواد مرکب HDPE در خمش
..... ۶۲	شکل ۳۸ منحنی نمونه تنش - کرنش خمشی برای HDPE خالص و ماده مرکب PE-WF-۲۵

٩١	شكل ٣٩ اثر الیاف مختلف بر مدول الاستیسیته خمشی مواد مرکب HDPE
٩٢	شكل ٤٠ الیاف مختلف بر مقاومت خمشی مواد مرکب HDPE
٩٣	شكل ٤١ اثر سازگارکننده بر انرژی تحت بار حداکثر مواد مرکب / آرد چوب در خش
٩٤	شكل ٤٢ اثر سازگارکننده بر مدول الاستیسیته خمشی مواد مرکب / آرد چوب
٩٤	شكل ٤٣ اثر سازگارکننده بر مقاومت خمشی مواد مرکب / آرد چوب
٩٥	شكل ٤٤ اثر سازگارکننده بر انرژی تحت بار حداکثر مواد مرکب / HDPE آرد چوب در خش
٩٦	شكل ٤٥ اثر سازگارکننده بر مدول الاستیسیته خمشی مواد مرکب / آرد چوب
٩٧	شكل ٤٦ اثر سازگارکننده بر مقاومت خمشی در حداکثر بار مواد مرکب / آرد چوب
٩٨	شكل ٤٧ اثر الیاف مختلف بر مقاومت به ضربه ایزود فاقدار مواد مرکب PP
١٠١	شكل ٤٨ اثر الیاف مختلف بر مقاومت به ضربه ایزود بدون فاقد مواد مرکب HDPE
١٠٢	شكل ٤٩ اثر الیاف مختلف بر مقاومت به ضربه ایزود بدون فاقد مواد مرکب HDPE
١٠٣	شكل ٥٠ اثر سازگارکننده بر مقاومت به ضربه ایزود بدون فاقد مواد مرکب / آرد چوب
١٠٤	شكل ٥١ اثر سازگارکننده بر مقاومت به ضربه ایزود فاقدار مواد مرکب / آرد چوب
١٠٤	شكل ٥٢ اثر سازگارکننده بر مقاومت به ضربه ایزود بدون فاقد مواد مرکب / آرد چوب
١٠٤	شكل ٥٣ اثر سازگارکننده بر مقاومت به ضربه ایزود فاقدار مواد مرکب / HDPE آرد چوب
١٠٥	شكل ٥٤ اثر سازگارکننده بر مقاومت به ضربه ایزود بدون فاقد مواد مرکب / HDPE آرد چوب
١٠٦	شكل ٥٥ طیف مدول ذخیره مواد مرکب PP و ٢٥٪ الیاف طبیعی
١٠٧	شكل ٥٦ طیف مدول اتلاف مواد مرکب PP و ٢٥٪ الیاف طبیعی
١٠٨	شكل ٥٧ طیف فاکتور اتلاف مکانیکی مواد مرکب PP و ٢٥٪ الیاف طبیعی
١٠٩	شكل ٥٨ طیف مدول ذخیره مواد مرکب PP و ٥٪ الیاف طبیعی
١٠٩	شكل ٥٩ طیف مدول اتلاف مواد مرکب PP و ٥٪ الیاف طبیعی
١١٠	شكل ٦٠ طیف فاکتور اتلاف مکانیکی مواد مرکب PP و ٥٪ الیاف طبیعی
١١١	شكل ٦١ اثر الیاف کنف بر مدول ذخیره PP
١١١	شكل ٦٢ اثر الیاف کنف بر مدول اتلاف PP
١١٢	شكل ٦٣ اثر الیاف کنف بر مدول $\tan \delta$ PP
١١٣	شكل ٦٤ اثر الیاف روزنامه بر مدول ذخیره PP
١١٣	شكل ٦٥ اثر الیاف روزنامه بر مدول اتلاف PP
١١٤	شكل ٦٦ اثر الیاف روزنامه بر $\tan \delta$ PP
١١٥	شكل ٦٧ اثر سبوس برنج بر مدول ذخیره PP
١١٥	شكل ٦٨ اثر سبوس برنج بر مدول اتلاف PP
١١٦	شكل ٦٩ اثر سبوس برنج بر $\tan \delta$ PP
١١٧	شكل ٧٠ اثر آرد چوب بر مدول ذخیره PP
١١٨	شكل ٧١ اثر آرد چوب بر مدول اتلاف PP
١١٨	شكل ٧٢ اثر آرد چوب بر $\tan \delta$ PP
١٢٢	شكل ٧٣ طیف مدول ذخیره مواد مرکب HDPE و ٢٥٪ الیاف طبیعی
١٢٣	شكل ٧٤ طیف مدول اتلاف مواد مرکب HDPE و ٢٥٪ الیاف طبیعی
١٢٤	شكل ٧٥ طیف فاکتور اتلاف مکانیکی مواد مرکب HDPE و ٢٥٪ الیاف طبیعی
١٢٤	شكل ٧٦ طیف مدول ذخیره مواد مرکب HDPE و ٥٪ الیاف طبیعی
١٢٥	شكل ٧٧ طیف مدول اتلاف مواد مرکب HDPE و ٥٪ الیاف طبیعی
١٢٦	شكل ٧٨ طیف فاکتور اتلاف مکانیکی مواد مرکب HDPE و ٥٪ الیاف طبیعی

۱۲۷.....	شکل ۷۹ اثر الیاف کنف بر مدول ذخیره HDPE
۱۲۸.....	شکل ۸۰ اثر الیاف کنف بر مدول اتلاف HDPE
۱۲۸.....	شکل ۸۱ اثر الیاف کنف بر فاکتور اتلاف مکانیکی HDPE
۱۲۹.....	شکل ۸۲ اثر الیاف روزنامه بر مدول ذخیره HDPE
۱۳۰.....	شکل ۸۳ اثر الیاف روزنامه بر مدول اتلاف HDPE
۱۳۱.....	شکل ۸۴ اثر الیاف روزنامه بر فاکتور اتلاف مکانیکی HDPE
۱۳۱.....	شکل ۸۵ اثر سبوس برنج بر مدول ذخیره HDPE
۱۳۲.....	شکل ۸۶ اثر سبوس برنج بر مدول اتلاف HDPE
۱۳۲.....	شکل ۸۷ اثر سبوس برنج بر فاکتور اتلاف مکانیکی HDPE
۱۳۳.....	شکل ۸۸ اثر آرد چوب بر مدول ذخیره HDPE
۱۳۴.....	شکل ۸۹ اثر آرد چوب بر مدول اتلاف HDPE
۱۳۴.....	شکل ۹۰ اثر آرد چوب بر فاکتور اتلاف مکانیکی HDPE
۱۳۷.....	شکل ۹۱ اثر سازگارکننده بر مدول ذخیره مواد مرکب / آرد چوب / APP
۱۳۷.....	شکل ۹۲ اثر سازگارکننده بر مدول اتلاف مواد مرکب / APP / آرد چوب
۱۳۸.....	شکل ۹۳ اثر سازگارکننده بر فاکتور اتلاف مکانیکی مواد مرکب / APP / آرد چوب
۱۳۹.....	شکل ۹۴ اثر سازگارکننده بر مدول ذخیره مواد مرکب / HDPE / آرد چوب
۱۴۰.....	شکل ۹۵ اثر سازگارکننده بر مدول اتلاف مواد مرکب / HDPE / آرد چوب
۱۴۰.....	شکل ۹۶ اثر سازگارکننده بر فاکتور اتلاف مکانیکی مواد مرکب / HDPE / آرد چوب
۱۴۲.....	شکل ۹۷ اثر الیاف مختلف بر شاخص ماندگاری مدول مواد مرکب PP و ۲۵٪ الیاف طبیعی
۱۴۲.....	شکل ۹۸ اثر الیاف مختلف بر شاخص ماندگاری مدول مواد مرکب PP و ۵۰٪ الیاف طبیعی
۱۴۳.....	شکل ۹۹ اثر الیاف کنف بر شاخص ماندگاری مدول PP
۱۴۴.....	شکل ۱۰۰ اثر الیاف روزنامه بر شاخص ماندگاری مدول PP
۱۴۴.....	شکل ۱۰۱ اثر سبوس برنج بر شاخص ماندگاری مدول PP
۱۴۵.....	شکل ۱۰۲ اثر آرد چوب بر شاخص ماندگاری مدول PP
۱۴۶.....	شکل ۱۰۳ اثر سازگارکننده بر شاخص ماندگاری مدول مواد مرکب / APP / آرد چوب
۱۴۶.....	شکل ۱۰۴ اثر الیاف مختلف بر شاخص ماندگاری مدول مواد مرکب HDPE و ۲۵٪ الیاف طبیعی
۱۴۷.....	شکل ۱۰۵ اثر الیاف مختلف بر شاخص ماندگاری مدول مواد مرکب HDPE و ۵۰٪ الیاف طبیعی
۱۴۸.....	شکل ۱۰۶ اثر الیاف کنف بر شاخص ماندگاری مدول HDPE
۱۴۸.....	شکل ۱۰۷ اثر الیاف روزنامه بر شاخص ماندگاری مدول HDPE
۱۴۹.....	شکل ۱۰۸ اثر سبوس برنج بر شاخص ماندگاری مدول HDPE
۱۵۰.....	شکل ۱۰۹ اثر آرد چوب بر شاخص ماندگاری مدول HDPE
۱۵۰.....	شکل ۱۱۰ اثر سازگارکننده بر شاخص ماندگاری مدول مواد مرکب / HDPE / آرد چوب
۱۵۱.....	شکل ۱۱۱ مدول ذخیره مواد مرکب PP و ۲۵٪ الیاف طبیعی به عنوان تابعی از فرکانس
۱۵۲.....	شکل ۱۱۲ مدول ذخیره مواد مرکب PP و ۵۰٪ الیاف طبیعی به عنوان تابعی از فرکانس
۱۵۳.....	شکل ۱۱۳ مدول اتلاف مواد مرکب بیو ۲۵٪ الیاف طبیعی به عنوان تابعی از فرکانس
۱۵۴.....	شکل ۱۱۴ مدول اتلاف مواد مرکب PP و ۵۰٪ الیاف طبیعی به عنوان تابعی از فرکانس
۱۵۵.....	شکل ۱۱۵ Tan δ مواد مرکب PP و ۲۵٪ الیاف طبیعی به عنوان تابعی از فرکانس
۱۵۵.....	شکل ۱۱۶ Tan δ مواد مرکب PP و ۵۰٪ الیاف طبیعی به عنوان تابعی از فرکانس
۱۵۶.....	شکل ۱۱۷ اثر الیاف کنف بر واپستگی مدول ذخیره مواد مرکب PP به فرکانس
۱۵۶.....	شکل ۱۱۸ اثر الیاف کنف بر واپستگی مدول اتلاف مواد مرکب PP به فرکانس

۱۵۷.....	شکل ۱۱۹ اثر الیاف کنف بر وابستگی δ متمواد مرکب PP به فرکانس
۱۵۸.....	شکل ۱۲۰ مدول ذخیره مواد مرکب HDPE و ۲۵٪ الیاف طبیعی به عنوان تابعی از فرکانس
۱۵۸.....	شکل ۱۲۱ مدول ذخیره مواد مرکب HDPE و ۵۰٪ الیاف طبیعی به عنوان تابعی از فرکانس
۱۵۹.....	شکل ۱۲۲ مدول اتلاف مواد مرکب HDPE و ۲۵٪ الیاف طبیعی به عنوان تابعی از فرکانس
۱۶۰.....	شکل ۱۲۳ مدول اتلاف مواد مرکب HDPE و ۵٪ الیاف طبیعی به عنوان تابعی از فرکانس
۱۶۱.....	شکل ۱۲۴ مواد مرکب Tan δ و ۲۵٪ الیاف طبیعی به عنوان تابعی از فرکانس
۱۶۱.....	شکل ۱۲۵ مواد مرکب Tan δ و ۵٪ الیاف طبیعی به عنوان تابعی از فرکانس
۱۶۲.....	شکل ۱۲۶ اثر الیاف کنف بر وابستگی مدول ذخیره مواد مرکب HDPE به فرکانس
۱۶۳.....	شکل ۱۲۷ اثر الیاف کنف بر وابستگی مدول اتلاف مواد مرکب HDPE به فرکانس
۱۶۳.....	شکل ۱۲۸ اثر الیاف کنف بر وابستگی δ متمواد مرکب HDPE به فرکانس
۱۶۴.....	شکل ۱۲۹ اثر سازگارکننده بر وابستگی مدول ذخیره مواد مرکب / آرد چوب به فرکانس
۱۶۵.....	شکل ۱۳۰ اثر سازگارکننده بر وابستگی مدول اتلاف مواد مرکب / آرد چوب به فرکانس
۱۶۵.....	شکل ۱۳۱ اثر سازگارکننده بر وابستگی فاکتور اتلاف مکانیکی مواد مرکب / آرد چوب به فرکانس
۱۶۶.....	شکل ۱۳۲ اثر سازگارکننده بر وابستگی مدول ذخیره مواد مرکب / آرد چوب به فرکانس
۱۶۷.....	شکل ۱۳۳ اثر سازگارکننده بر وابستگی مدول اتلاف مواد مرکب / آرد چوب به فرکانس
۱۶۷.....	شکل ۱۳۴ اثر سازگارکننده بر وابستگی فاکتور اتلاف مکانیکی مواد مرکب / آرد چوب به فرکانس
۱۶۸.....	شکل ۱۳۵ رفتار خزش-بازگشت کوتاه مدت مواد مرکب PP و ۲۵٪ الیاف طبیعی در دمای اتاق
۱۶۹.....	شکل ۱۳۶ رفتار خزش-بازگشت کوتاه مدت مواد مرکب PP و ۵٪ الیاف طبیعی در دمای اتاق
۱۷۰.....	شکل ۱۳۷ اثر الیاف کنف بر رفتار خزش-بازگشت کوتاه مدت PP
۱۷۰.....	شکل ۱۳۸ رفتار خزش-بازگشت کوتاه مدت مواد مرکب HDPE و ۲۵٪ الیاف طبیعی در دمای اتاق
۱۷۱.....	شکل ۱۳۹ رفتار خزش-بازگشت کوتاه مدت مواد مرکب HDPE و ۵٪ الیاف طبیعی در دمای اتاق
۱۷۲.....	شکل ۱۴۰ اثر الیاف کنف بر رفتار خزش-بازگشت کوتاه مدت HDPE
۱۷۲.....	شکل ۱۴۱ مناسب سازی منحنی های خزش با استفاده از تابع معادله توانی در مورد PP خالص
۱۷۳.....	شکل ۱۴۲ وابستگی دمایی پارامتر a در مورد مواد مرکب PP و ۲۵٪ الیاف طبیعی
۱۷۴.....	شکل ۱۴۳ وابستگی دمایی پارامتر b در مورد مواد مرکب PP و ۲۵٪ الیاف طبیعی
۱۷۵.....	شکل ۱۴۴ وابستگی دمایی پارامتر a در مورد مواد مرکب PP و ۵٪ الیاف طبیعی
۱۷۶.....	شکل ۱۴۵ وابستگی دمایی پارامتر b در مورد مواد مرکب PP و ۵٪ الیاف طبیعی
۱۷۷.....	شکل ۱۴۶ اثر الیاف کنف بر پارامتر b در مدل خزش برای مواد مرکب PP
۱۷۸.....	شکل ۱۴۷ اثر الیاف کنف بر پارامتر b در مدل خزش برای مواد مرکب PP
۱۷۹.....	شکل ۱۴۸ وابستگی دمایی پارامتر a در مورد مواد مرکب HDPE و ۲۵٪ الیاف طبیعی
۱۸۰.....	شکل ۱۴۹ وابستگی دمایی پارامتر b در مورد مواد مرکب HDPE و ۲۵٪ الیاف طبیعی
۱۸۱.....	شکل ۱۵۰ وابستگی دمایی پارامتر a در مورد مواد مرکب HDPE و ۵٪ الیاف طبیعی
۱۸۲.....	شکل ۱۵۱ وابستگی دمایی پارامتر b در مورد مواد مرکب HDPE و ۵٪ الیاف طبیعی
۱۸۳.....	شکل ۱۵۲ اثر الیاف کنف بر پارامتر b در مدل خزش برای مواد مرکب HDPE
۱۸۴.....	شکل ۱۵۳ اثر الیاف کنف بر پارامتر b در مدل خزش برای مواد مرکب HDPE
۱۸۵.....	شکل ۱۵۴ اسکن فرکانس ماده مرکب PE-KF-۵۰ در دماهای مختلف
۱۸۶.....	شکل ۱۵۵ منحنی مرجع به دست آمده از جابجایی افقی منحنی های اسکن فرکانس
۱۸۷.....	شکل ۱۵۶ منحنی مرجع به دست آمده از جابجایی افقی و عمودی منحنی های اسکن فرکانس
۱۸۸.....	شکل ۱۵۷ منحنی مرجع کرنش خزشی به دست آمده از جابجایی افقی داده های خزش در دماهای مختلف
۱۸۹.....	شکل ۱۵۸ منحنی های کرنش خزشی رویهم گذاری شده با استفاده از فاکتورهای جابجایی افقی حاصل از اسکن فرکانس

.....
.....
.....
.....
.....

میراث اطلاعات آنکه علمی زبان
او تهیه می‌کند